# 暴風時における海底パイプラインの 耐波安定性評価に関する一考察

CONSIDERATION OF UNBURIED OFFSHORE PIPELINE STABILITY UNDER SEVERE STORM CONDITION

## 高谷 富也<sup>1</sup> Tomiya TAKATANI

1正会員 学博 舞鶴工業高等専門学校教授 建設システム工学科 (〒625-8511 京都府舞鶴市白屋234)

The purpose of this paper is to estimate the stability of an unburied offshore pipeline under severe storm condition. Pore pressure accumulation and pipeline movement during cyclic loading on pipeline are numerically investigated from the view points of the stiffness of seabed and the fine grained soil content in seabed. Both drag and lift forces are numerically obtained for 100 years return period storm condition using the Fourier decomposition method. Pipeline movement strongly depends on the seabed characteristics as well as the cyclic loadings estimated from storm condition. When the stiffness of seabed and the fine grained soil content are large, not only the pipeline movement but also the pore pressure response in seabed beneath the pipeline increases with the number of cycles.

**Key Words:** Unburied offshore pipeline stability, cyclic loading, Fourier decomposition method, pipeline movement, pore water pressure accumulation, stress-strain paths

#### 1. はじめに

日本近海における天然ガスや石油などの海洋資源の利用を考えた場合、天候や経済性の面から海底パイプラインによる輸送形態が望ましい。この場合、海底に設置されるパイプラインの耐波・耐震安全性の評価が設計を行う上で非常に重要な課題と言える。海底に設置されたパイプラインが台風などの暴風雨時における波浪や潮流などの影響を受ける場合、パイプラインには繰り返しの抗力や揚力が作用する。この繰り返し荷重のもとで、パイプラインは沈下や水平に移動する。この場合、海底地盤の条件によっては、パイプライン周辺地盤に間隙水圧の上昇あるいは蓄積が生じ、地盤剛性の低下をもたらすり、そこで、筆者はパイプラインの遠心力模型載荷実験でに基づいて、既に繰り返し水平載荷を受けるパイプラインの変位挙動およびその周辺地盤の応力一ひずみ関係や間隙水圧応答を求めてきている30-90。

これまでの研究成果を踏まえて、本研究は輸送流体の 自重の影響が少ない天然ガスの海底パイプラインに作用 する暴風雨時の波浪や潮流による抗力や揚力を算定し、 繰り返し荷重下でのパイプラインの耐波安定性評価を行 うことを目的としている.

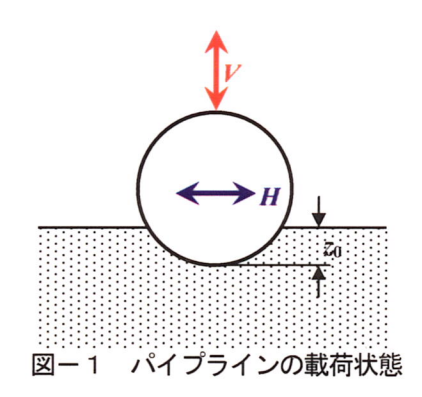
本研究では、水深60mにおける直径1mの海底パイプラインを想定し、100年の再現期間を有する暴風雨時における波浪として最大有義波高13.2m、周期13.5sの規則

波とした. Sorensen ら<sup>10</sup>の手法を用いて,これらの条件下においてパイプライン周辺の流速を評価することで海底パイプラインに作用する抗力や揚力を算定している.これらの繰り返し荷重に対して,有効応力に基づいたパイプラインー地盤系の動的応答解析では,パイプラインの初期埋設深さを考慮してパイプラインに揚力として鉛直荷重を載荷した状態で繰り返し水平荷重となる抗力を与えて,パイプラインの移動量,地盤の変形,応力,ひずみおよび間隙水圧を求めている.また,海底地盤条件の違いがパイプラインや地盤の応答特性に及ぼす影響について検討する.

#### 2. 解析方法

本研究では、土の応力ーひずみの非線形関係<sup>11)</sup>を考慮した有効応力に基づいたパイプラインー地盤系の液状化解析<sup>12)</sup>を行い、暴風雨時における波浪や潮流による繰り返し載荷を受けるパイプラインの移動挙動、その周辺地盤内部の応力・ひずみの応答履歴および間隙水圧応答を求める。この応答解析を通じて、パイプラインの移動量、周辺地盤内部の応力、ひずみおよび間隙水圧応答に及ぼす地盤特性の影響を調べる。

図-1に示すように、パイプライン-地盤系の動的応答解析では、パイプライン周辺の流速より求められた揚力を鉛直荷重Vとして、また抗力を水平荷重Hとして



与えることにより、パイプラインの移動量、地盤の変形、応力、ひずみおよび間隙水圧を求める。なお、地盤は砂質地盤とし、地盤特性の影響を調べるためにN値および細粒分含有率Fcの観点より、パイプラインおよびその周辺地盤の動的応答解析を行っている。N値は地盤の初期せん断剛性や体積弾性係数に大きく関係し、細粒分含有率Fcは過剰間隙水圧の発生の抑制に関与することになる。なお、地盤の力学的諸定数および液状化に関与する解析パラメータ等の設定方法や詳細な説明は、紙面の都合上文献8)および13)に譲る。

図ー2は、パイプラインの初期埋設深さ $z_0$ を0.25mとした場合における解析領域3.5m×10mの有限要素メッシュを示したものである。同図において、パイプライン直径Dは1mとし、パイプラインと地盤との接触面にはすべりを考慮してジョイント要素を配置している。これまでの研究成果 $^{5)$ ,  $^{6)}$  を踏まえて、ジョイント要素の垂直方向接線剛性 $K_n$ を1.0×10 $^{6}$ kN/m、せん断方向接線剛性 $K_s$ を1.0×10 $^{5}$ kN/mとしている。

次に、本研究で用いた100年の再現期間を有する暴風雨時における最大有義波高13.2m、周期13.5sの規則波による海底パイプラインに作用する抗力や揚力の算定方法について述べる。

一般に、海底パイプラインに作用する抗力および揚力は、Morison Force Model、Peak Force Model、Wake ModelおよびFourier Force Model等によって求めることが

できる $^{14}$ . 本研究では、Sorensen  $5^{10}$ の手法を用いて、直径1 mの海底パイプラインに作用する抗力および揚力を算定する。この算定手法は、規則波によりパイプラインに作用する荷重を次式に示すようにフーリエ級数で表示するものである $^{14}$ .

$$F(t) = F_0 + \sum_{n=1}^{N} F_n \cos(n\omega t - \phi_n)$$
 (1)

ここに、ωは規則波の周波数である.

一方,パイプラインに作用するフーリエ級数による荷 重係数は, $1/2\rho DU_{wave}^2$  で正規化された実験データを用 いて次式によって計算される.

$$C_H(t) = \frac{F_D(t)}{1/2\rho DU_{wave}^2} = C_{H_0} + \sum_{n=1}^{9} C_{H_n} \cos(n\omega t - \phi_{H_n})$$
 (2)

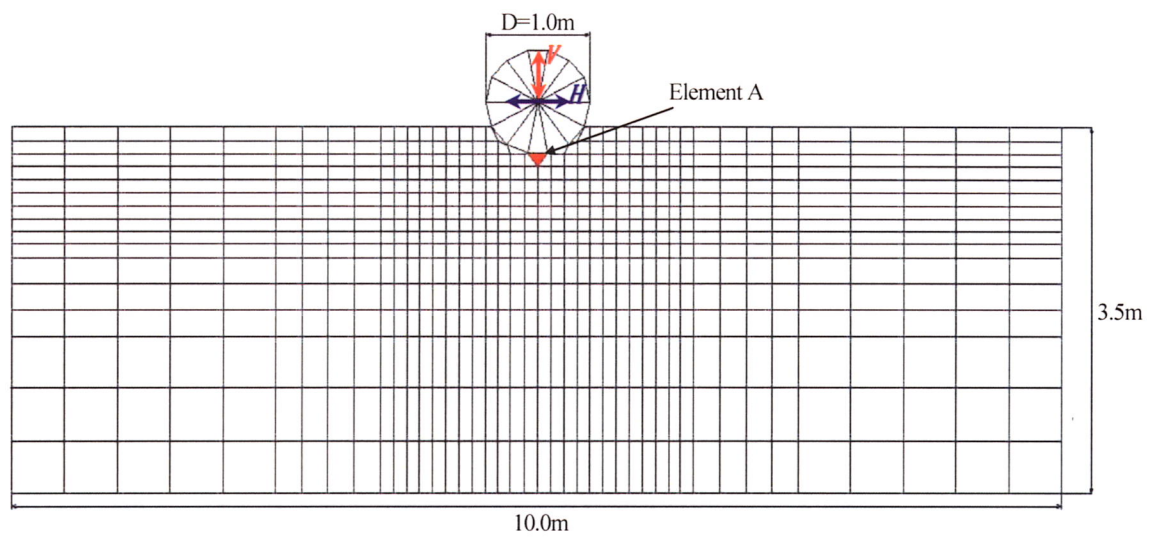
$$C_V(t) = \frac{F_L(t)}{1/2\rho DU_{wave}^2} = C_{V_0} + \sum_{n=1}^{9} C_{V_n} \cos(n\omega t - \phi_{V_n})$$
 (3)

ここに、 $\rho$  は流体密度、 $U_{wave}$  は水平方向の最大速度振幅である。

上式に見られるフーリエの荷重係数  $(C_{Hn}, C_{Vn})$  および偏角  $(\phi_{Hn}, \phi_{Vn})$  は、フーリエ変換と最小自乗法によって決定され、 $K_c$  (Keulegan-Carpenter Number) または $\alpha$  (Current Ratio) の関数として表される.ここに、 $K_c = U_{wave}T/D$ , $\alpha = U_{current}/U_{wave}$ , $U_{current}$  はパイプライン上における定常状態の潮流速度、T は規則波の周期である.

### 3. 数値計算結果と考察

本研究では、図-2に示す水平および鉛直方向の繰り返し荷重HおよびVとして、図-3に示す抗力および揚力を用いて有効応力に基づいた海底パイプラインー地盤系の動的応答解析を行う。図-3に示すパイプラインに作用する抗力および揚力は、前節で述べたSorensenら<sup>10)</sup>の手法を用いて、水深60mにおける直径1mの海底パイプラインに対してパイプライン周辺の流速を評価することで得られたもので、JONSWAPスペクトル<sup>15)</sup>を基にしてLewisら<sup>16)</sup>が求めた100年の再現期間を有する暴風雨時



図ー2 FEM解析メッシュ

表-1 抗力・揚力の算定条件(規則波)

Maximum Wave Velocity, $U_{wave}$ (m/s)	2.55
Steady Current Velocity, $U_{current}$ (m/s)	0.58
Wave Frequency (Hz)	0.47
Keulegan-Carpenter Number, K <sub>c</sub>	34.34
Current Ratio, $\alpha$	0.23

における波浪として最大有義波高13.2mおよび周期13.5s の規則波の条件としている。なお、表-1に抗力および 揚力を算定した場合の条件を示しておく。図-3に示すパイプラインに作用する揚力については、パイプライン 周辺の流速による揚力とパイプラインの自重との釣り合い関係によって約3kN/mほどプラス側にずれていることがわかる。

図-4はN値(N)65=5および細粒分含有率Fc<5%の場合 について、1000s間の繰り返し載荷中におけるパイプラ イン挙動を示したものである. この図より、地盤剛性と 細粒分含有率が小さいため、図-4(a)に示すパイプラ インの水平変位と鉛直変位関係においては、載荷後5回 程度の繰り返しによりパイプラインの沈下はほぼ 0.025mになっており、収束沈下量となる0.03mに近づい ていることがわかる. 図-4(b)に示す水平変位と水平 荷重関係においては、繰り返し載荷回数が多くなるにつ れて水平変位量が増加し、ある荷重-変位ループに収束 する傾向を示しており、地盤剛性の低下が見られること がわかる. 一方, 図-4(c)に示す鉛直変位と鉛直荷重 関係においては、10回程度の繰り返し載荷にてパイプラ インは急激な沈下傾向を示しているが、その後の繰り返 し載荷回数の増加とともに徐々に最終沈下量となる 0.03mに近づいていることがわかる.

図-5はN値(N)65=5および細粒分含有率Fc=10%の場 合について、1000s間の繰り返し載荷中におけるパイプ ライン挙動を示したものである。図-4の場合に比べて N値は同じであるが、細粒分含有率Fcが大きくなってい るため、図-5(a)に示すパイプラインの水平変位と鉛 直変位関係においては、繰り返し載荷中におけるパイプ ラインの水平移動および沈下量が図-4に比べて小さな 値となっていることがわかる. また、 $\mathbf{図}-\mathbf{5}$  (b) に示す 水平変位と水平荷重関係では、図-4と同様に繰り返し 載荷回数が多くなるにつれて水平変位量が増加し、ある 荷重-変位ループに収束する傾向を示しており、地盤剛 性の低下が見られることがわかる.一方、図-5(c)に 示す鉛直変位と鉛直荷重関係においては、繰り返し載荷 回数の増加とともに徐々にパイプラインは沈下し、ある 荷重一変位ループに収束する傾向を示していることがわ かる.

一方、図ー6はN値(N)<sub>65</sub>=10および細粒分含有率 Fc<5%の場合について、1000s間の繰り返し載荷中におけるパイプライン挙動を示したものである。図ー4の場合に比べて細粒分含有率Fcは同じであるが、等価N値(N)<sub>65</sub>が大きくなっているため、図ー6(a)に示すパイプラインの水平変位と鉛直変位関係においては、繰り返し

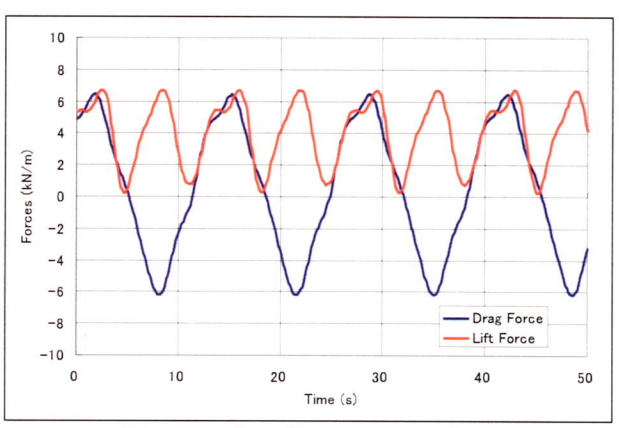
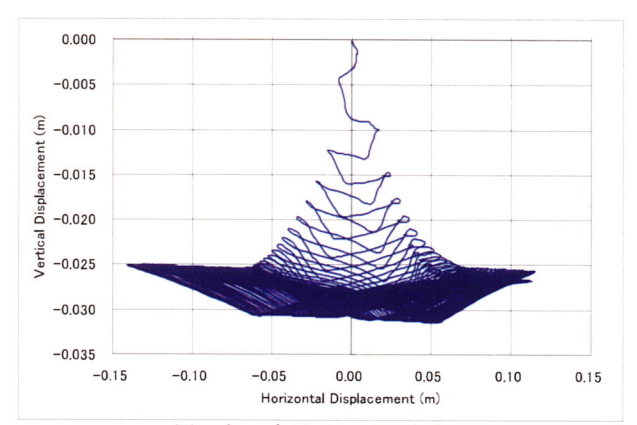
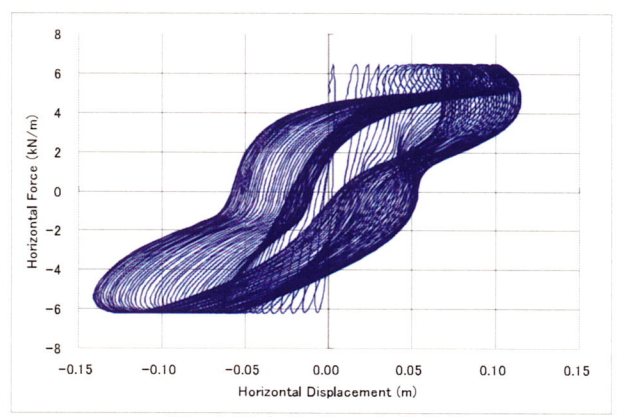


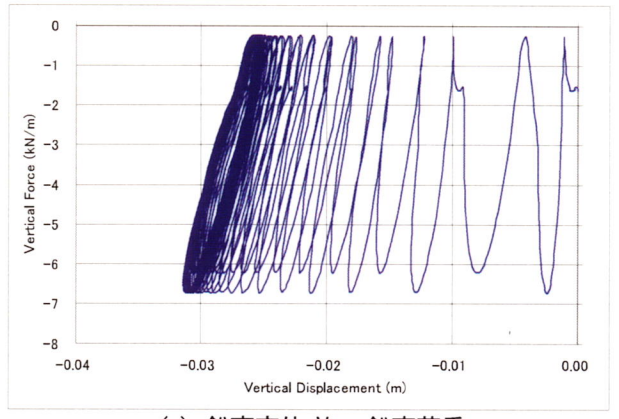
図-3 パイプラインの作用荷重



(a) 水平変位 Vs. 鉛直変位



(b) 水平変位 Vs. 水平荷重



(c) 鉛直変位 Vs. 鉛直荷重 図-4 繰り返し載荷中のパイプライン挙動 (1000s間, (N)65=5, Fc<5%)

載荷中におけるパイプラインの水平移動および沈下量が 図-4に比べて小さな値となっていることがわかる。また、図-5と図-6の比較より繰り返し載荷中における パイプラインの水平移動は小さくなるものの、パイプラ インの沈下量はほぼ同じ値となっていることがわかる。

図ー7は、 $N値(N)_{65}$ =5および細粒分含有率Fc=10%の場合について、図ー2に示すパイプライン直下における地盤要素Aの1000s間の繰り返し載荷中の応力とひずみの履歴応答および間隙水圧応答を示したものである。応力一ひずみ履歴応答において、繰り返し載荷回数が多くなるにつれて、せん断応力が低下しせん断ひずみが大きくなっている。また、繰り返し載荷回数とともに平均有

カーひずみ履歴応答において,繰り返し載荷回数が多くなるにつれて,せん断応力が低下しせん断ひずみが大きくなっている。また,繰り返し載荷回数とともに平均有

(a) 水平変位 Vs. 鉛直変位

0.00

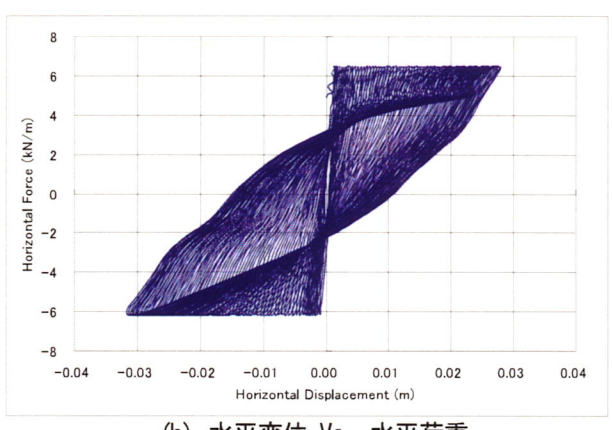
Horizontal Displacement (m)

-0.01

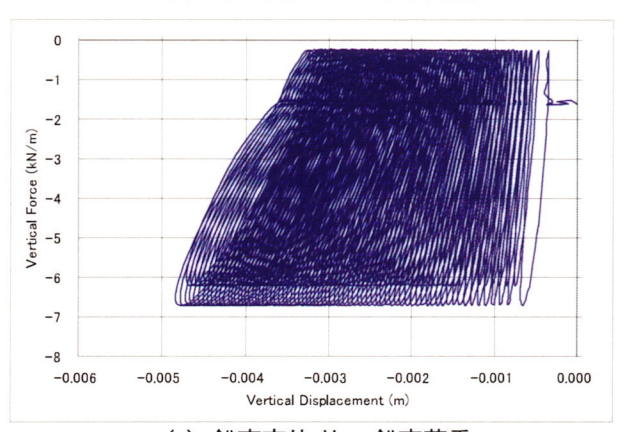
-0.005

-0.04

-0.03

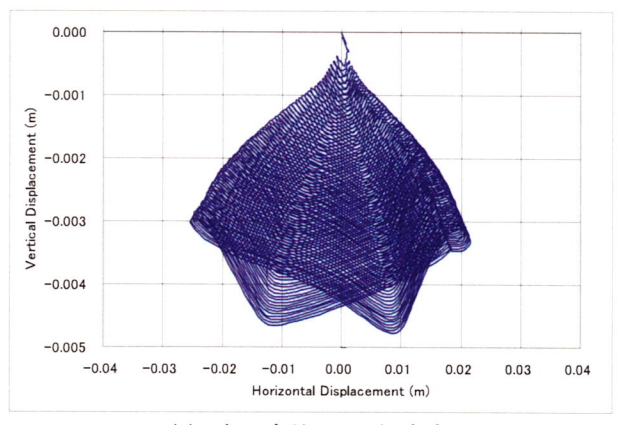


(b) 水平变位 Vs. 水平荷重

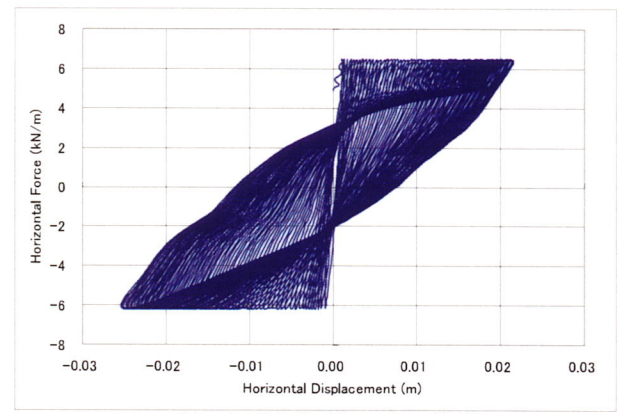


(c) 鉛直変位 Vs. 鉛直荷重 図-5 繰り返し載荷中のパイプライン挙動 (1000s間, (N)65=5, Fc=10%)

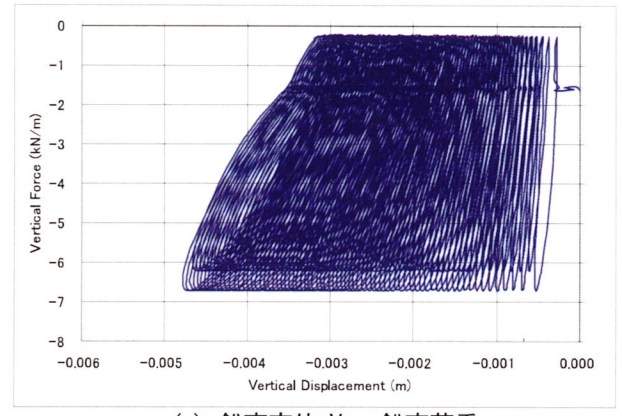
効応力は小さく、せん断ひずみは大きくなっており、液状化の傾向を示していることがわかる.一方、間隙水圧応答については、繰り返し載荷回数とともに徐々に間隙水圧の蓄積が行われ間隙水圧応答が大きくなる傾向を示していることがわかる.このため、パイプラインの繰り返し移動による間隙水圧の上昇によりパイプライン直下の地盤においては地盤剛性の低下が見られるものと考えられる.なお、紙面の都合上図示していないが、図ー7に比べて地盤剛性が小さい(N)65=5およびFc<5%の場合における間隙水圧応答については、繰り返し載荷回数に関係なく間隙水圧応答はほぼ一定の値となっている.これは地盤剛性が小さいため、数回の繰り返し載荷回数で



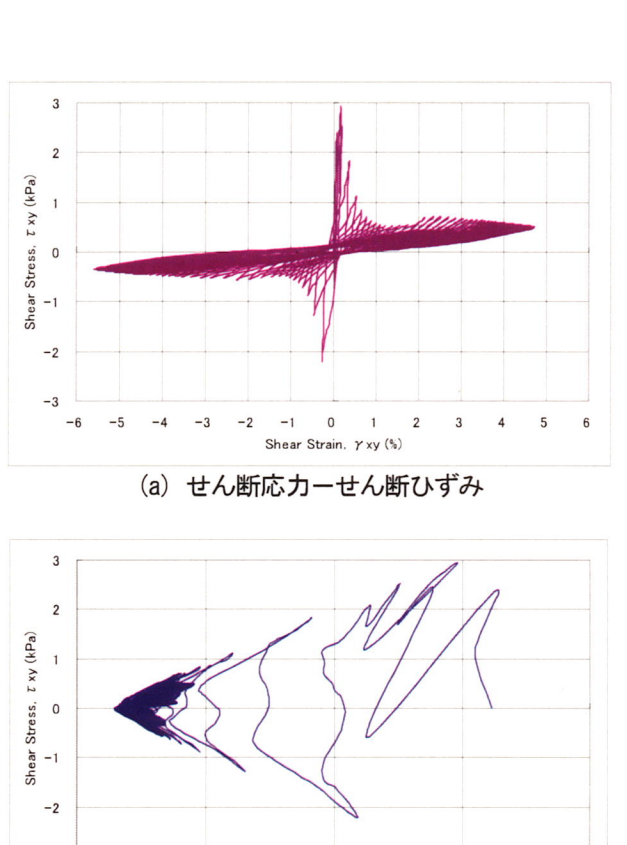
(a) 水平変位 Vs. 鉛直変位



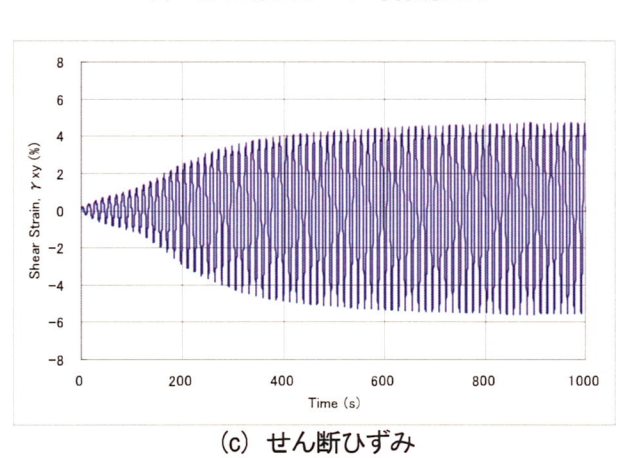
(b) 水平変位 Vs. 水平荷重

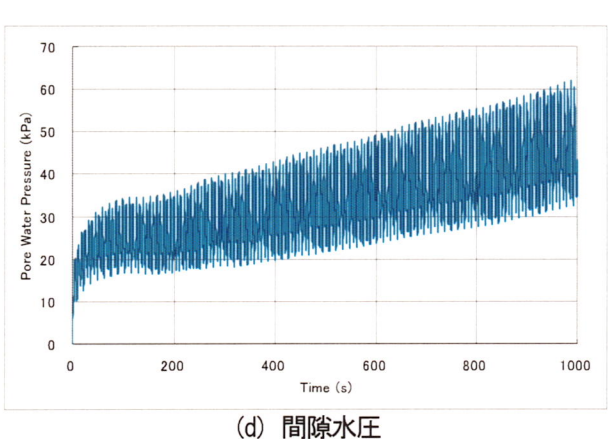


(c) 鉛直変位 Vs. 鉛直荷重 図ー6 繰り返し載荷中のパイプライン挙動 (1000s間, (N)65=10, Fc<5%)

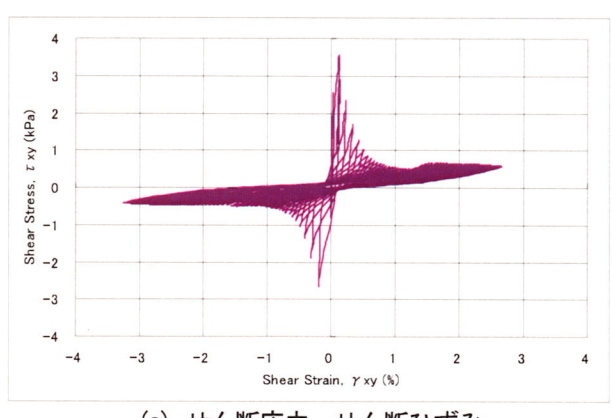




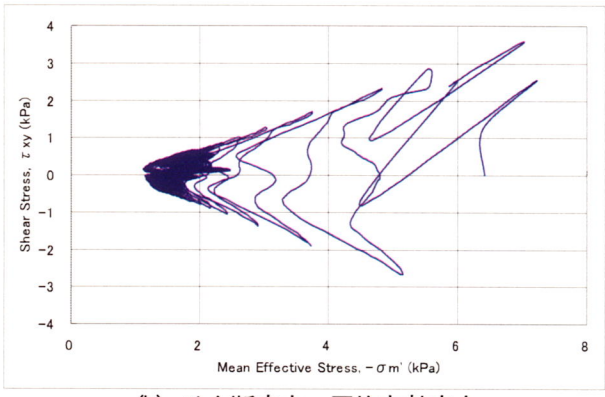




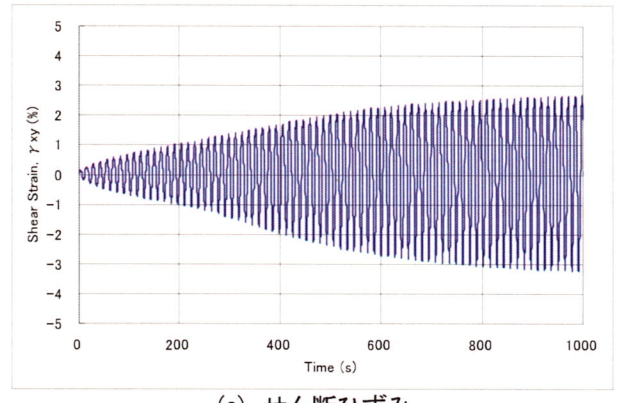
図ー7 地盤内部の応力、ひずみ、間隙水圧応答 (Element A, 1000s間,  $(N)_{65}$ =5, Fc=10%)



(a) せん断応カーせん断ひずみ



(b) せん断応カー平均有効応力



(c) せん断ひずみ

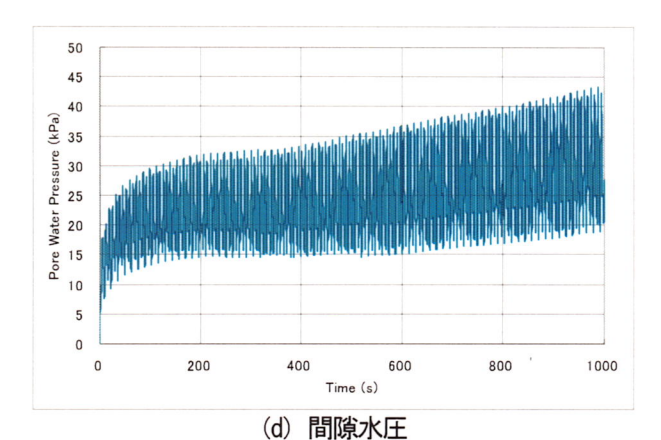


図-8 地盤内部の応力, ひずみ, 間隙水圧応答 (Element A, 1000s間,  $(N)_{65}$ =15, Fc<5%)

パイプラインの最終沈下量に収束するためと考えられる. 一方、図-7に比べて地盤剛性が大きい場合に対する 地盤要素Aの1000s間の繰り返し載荷中の応力とひずみ の履歴応答および間隙水圧応答を図-8に示す. なお, 地盤条件は $N値(N)_{65}$ =15および細粒分含有率Fc<5%とし ている. この図より、図-7に比べて地盤剛性が大きい ため、図-8(a)に見られるように繰り返し載荷回数と ともに応力ーひずみ履歴応答はあるループに収束してい ることがわかる. また, 図-8(c)に見られるようにせ ん断ひずみの増加率は繰り返し載荷回数にほぼ比例して いる. 一方, 図-8(d)に示す間隙水圧応答値は図-7 に比べて小さな値となるものの、繰り返し載荷回数が多 くなるとともに徐々に間隙水圧応答が大きくなる傾向を 示すことがわかる. このことは、暴風雨時における繰り 返し荷重がN値や細粒分含有率Fcが大きい地盤上に設置 されたパイプラインに長時間作用した場合には、大きな 沈下量や水平移動量となるとともに、間隙水圧が徐々に 蓄積され、地盤剛性が低下することを示唆しているもの と考えられる.

#### 4. おわりに

本研究は、海底パイプラインに作用する暴風雨時の波 浪や潮流による抗力や揚力を算定し、繰り返し荷重下で のパイプラインの耐波安定性評価として、有効応力に基 づいたパイプラインー地盤系の動的応答解析を行い、海 底地盤条件の違いがパイプラインや地盤の応答特性に及 ぼす影響についても検討したものである。本研究で得ら れた結果を以下に示しておく。

- 1) N値および細粒分含有率Fcが小さい地盤上に設置された海底パイプラインについては、パイプラインの 沈下量および水平移動の振幅量は大きいものの、繰り返し回数が大きくなるにつれてある範囲内の値に 収束し、その後の繰り返し荷重に対してはその範囲 内での応答となる。また、パイプライン直下地盤内 部のせん断ひずみや間隙水圧は一定の範囲内の値と なる。
- 2) N値や細粒分含有率Fcが大きい地盤について、パイプラインの沈下や水平移動の振幅は次第に大きくなる傾向を示す。また、繰り返し回数が多くなるにつれてパイプライン直下地盤の応力ーひずみ履歴応答はあるループに収束するが、間隙水圧は徐々に大きくなる傾向を示す。
- 3) 暴風雨時における繰り返し荷重がN値や細粒分含有率Fcが大きい地盤上に設置されたパイプラインに長時間作用した場合には、大きな沈下量や水平移動量となる。また、パイプライン直下地盤内部の応力ーひずみ履歴応答やせん断ひずみはある値に収束するが、間隙水圧は徐々に蓄積される傾向を示す。

謝辞:この研究の遂行に当たり、西オーストラリア大学 School of Oil and Gas EngineeringのDaniel Brooker博士によ る資料, 貴重なコメントや助言等を戴いたことを付記し, ここに深く感謝の意を表す.

#### 参考文献

- 1) PRCI: Submarine Pipeline On-Bottom Stability Volume 1, Pipeline Research Council International Inc., 2002.
- Zhang, J. and Randolph, M.F.: North West Shelf Trunkline System Expansion Project, Cyclic Loading of Pipelines - Centrifuge Modelling, GEO: 01257, The University of Western Australia, 2001.
- 3) 高谷富也, M.F. Randolph:繰り返し水平載荷を受けるパイプライン直下地盤内の間隙水圧応答について,海洋開発論文集, Vol.19, pp.505-510, 2003.
- 4) Takatani, T. and Randolph, M.F.: Experimental Study of Pore Pressure Build Up Due to Horizontal Cyclic Loading of Pipeline, *Proceedings of the 13th International Offshore and Polar Engineering Conference*, Vol.2, pp.31-37, 2003.
- 5) 高谷富也,小河史枝:繰り返し載荷を受けるパイプライン 周辺地盤の間隙水圧応答について,海洋開発論文集,Vol.20, pp.449-454,2004.
- 6) Takatani, T. and Ogawa, F.: Pore Pressure Build Up Response Due to Horizontal Cyclic Loading of Pipeline, *Proceedings of the 3rd International Conference on Advances in Structural Engineering and Mechanics*, S6C, 2004.
- Takatani, T.: Pipeline-Seabed Interaction Analysis for Horizontal Cyclic Loading of Pipeline, *Proceedings of the 16th International Offshore and Polar Engineering Conference*, Seoul, Vol.2, pp.115-122, 2005.
- 8) 高谷富也:繰り返し載荷を受けるパイプライン挙動と地盤 特性の関係について,海洋開発論文集,Vol.21,pp.957-962,2005.
- Takatani, T.: Pipeline-Seabed Interaction Analysis Subjected to Horizontal Cyclic Loading, Proceedings of International Symposium on Frontiers in Offshore Geomechanics, Perth, pp.629-635, 2005.
- Sorenson, T., Bryndum, M. B. and Jacobsen, V.: Hydrodynamic Forces on Pipelines – Model Tests, *Pipeline Research Council International Inc.*, 1986.
- 11)Towhata, I. and Ishihara, K.: Modeling Soil Behavior Under Principal Stress Axes Rotation, *Proceedings of the 5th International Conference on Numerical Method in Geomechanics*, Nagoya, pp.523-530, 1985.
- 12) Iai, S., Matsunaga, Y. and Kameoka, T.: Strain Space Plasticity Model for Cyclic Mobility, *Report of Port and Harbour Research Institute*, Vol.29, No.4, pp.27-56, 1990.
- 13)森田年一, 井合 進, Hanlong Liu, 一井康二, 佐藤幸博: 液状化による構造物被害予測プログラムFLIPにおいて必要 な各種パラメータの簡易推定法, 港湾技術研究所資料, No.869, 1997.
- 14) Neill, I.A.R. and Hinwood, J.B.: Wave and Wave-Current Loading on a Bottom-Mounted Circular Cylinder, *International Journal of Offshore and Polar Engineering*, Vol.8, No.2, pp.122-129, 1998.
- 15)Hasselmann, K., Barneft, T.P., Bouws, E., Carlson, H., Cartwright, D.E., Enke, K., Ewing, J.A., Gienapp, H., Hasselmann, D.E., Kruseman, P., Meerburg, A., Muller, P., Olders, D.J., Richter, K., Sell, W. and Walden, H.: Measurements of Wind-Wave Growth and Swell Decay During the Joint North Sea Wave Project (JONSWAP), Deutsche Hydr. Zeit, No.12, pp.9-95, 1973.
- 16)Lewis, A.W. and Allos, R.N.: JONSWAP's Parameters: Sorting Out the Inconsistencies, *Journal of Ocean Engineering*, Vol.17, No.4, pp.409-415, 1990.